

تهیه و ارزیابی عملکرد نانوذرهای آلزینات پوشش داده شده با تری متیل کایتوسان (TMC) و پلی اتیلن گلایکول (PEG) برای رسانش خوراکی انسولین

سمانه کمیجانی⁺، سمیره هاشمی نجف آبادی*

گروه مهندسی زیست پزشکی، دانشکده مهندسی شیمی، دانشگاه تربیت مدرس، تهران، ایران

مترجمی رفیعی تهرانی

گروه فارماسیوتیکس، دانشکده داروسازی، دانشگاه علوم پزشکی تهران، تهران، ایران

چکیده: در بیماران دیابتی، ترشح انسولین از لوزالمعده مختلط شده که منجر به تزریق روزانه انسولین می‌شود. تزریق انسولین سبب ایجاد عفونت، درد و تنفس در درازمدت می‌شود. دارورسانی خوراکی انسولین می‌تواند یک جایگزین مناسب برای تزریق باشد. هرچند در رسانش خوراکی، به دلیل تخریب آنزیمی در دستگاه گوارش، پایداری کم در pH معدله و سدهای فیزیکی مخاط روده، زیست دسترس پذیری انسولین پایین است. بنابراین، ساخت سامانه‌های کارآمد حامل، مانند نانوذرهای، می‌تواند راه حل مناسبی برای محافظت از داروهای حساس مانند انسولین باشد. هدف از این پژوهش، تهیه یک سامانه آلزینات/ تری متیل کایتوسان (TMC)/ پلی اتیلن گلایکول (PEG) در اندازه نانو به منظور کنترل رهاش انسولین از آن و افزایش زمان ماندگاری نانوذره در دستگاه گوارش است. نخست، اندازه نانوذرهای و بازده به دام افتادن (EE) انسولین، بهینه سازی شده و شرایط بهینه برای نسبت‌های انسولین/ آلزینات، TMC/ آلزینات و دور همزن، به ترتیب برابر با ۱، ۴۵ و ۵۰۰ rpm به دست آمد. سپس، در شرایط بهینه، نانوذرهای آلزینات بارگذاری شده با انسولین، تهیه شده و به ذنبال آن، با TMC پوشش داده شدند و سرانجام، نانوذرهای توسط متوكسی پلی اتیلن گلایکول (mPEG) پگیله شدند. پس از بهینه سازی شرایط، اندازه نانوذرهای و EE به ترتیب ۱۹۵ نانومتر و ۹۲٪ به دست آمد و بازده بارگذاری (LE) انسولین در نانوذرهای ۲۱٪ محاسبه شد. برهمکنش بین لايهای گوناگون نيز، با آزمون FT-IR تأييد شده و بررسی رهاش انسولین در محیط‌های شبيه سازی شده معده (SGF) و روده (SIF) انجام شد. اين مطالعه‌ها نشان دادند که بيشترین ميزان رهاش انسولين، در طي ۶ ساعت اوليه بوده و پس از آن، روند رهاش به تقریب ثابت می‌شود. همچنین با پگیله کردن نانوذرات، ميزان رهاش انسولين به مقدار چشمگيری افزایش می‌يابد.

واژه‌های کلیدی: انسولین؛ آلزینات؛ تری متیل کایتوسان؛ متوكسی پلی اتیلن گلایکول؛ دارورسانی خوراکی

KEYWORDS: Insulin; Alginate; Trimethylchitosan; Methoxy polyethylene glycol; Oral drug delivery.

+E-mail: s.hashemi@modares.ac.ir

* عهده دار مکاتبات

مقدمه

به pH حساس است، در pH اسیدی معده، پایدار، ولی در pH بازی رووده ($\text{pH} > 6$) متورم شده و شروع به حل شدن می‌کند. مشکل اصلی استفاده از ذره‌های آژینات خالص به عنوان سامانه دارورسانی، رهایش سریع مولکول‌های بارگذاری شده و بازده کم پوشینه‌دارسازی دارو است. تخلخل ژل که به نسبت بزرگ است، سبب نشت دارو و انتشار بیشتر آن از شبکه ژل می‌شود. برای غلبه بر این مشکل، پلیمرهای گوناگونی مانند کایتوسان [۶-۸] و مشتق‌های آن [۹]، دکستران سولفات [۱۰] و پکتین [۱۱]، در ترکیب با سدیم آژینات استفاده می‌شوند که با این پلیمر پیوند الکترواستاتیکی برقرار می‌کنند [۵]. سارمنتو^(۱) و همکاران، نشان دادند که کمپلکس‌های آژینات/کایتوسان پس از بهینه‌سازی، نانوذره‌هایی با بازده تجمعی ۹۲٪ و درجه بارگذاری ۱۴/۳٪ تشکیل دادند که قادر است ساختار ثانویه انسولین را که برای فعالیت زیستی آن نیاز است، حفظ کند. همچنین، این نانوذره‌های حدود ۵۰٪ از انسولین را به مدت ۲۴ ساعت در شرایط pH معده حفظ کردند، درحالی‌که در شرایط pH رووده، رهایش گسترش‌تر و در حدود ۷۵٪ بود [۷].

کایتوسان یک پلی‌ساقارید کاتیونی طبیعی، آبدوست، غیرسمی و زیست‌سازگار با خاصیت مخاط‌چسبی است [۵، ۱۲]. ولی کایتوسان تنها در محیط اسیدی معده محلول است و در محیط‌های خشی و بازی، بار مثبت خود را از دست داده و رسوب می‌کند. برای غلبه بر این محدودیت، از مشتق‌های کایتوسان استفاده می‌شود که همواره دارای بار مثبت و در pH های بالاتر محلول هستند [۱۳]. یکی از این مشتق‌های تری‌متیل کایتوسان (TMC) است که یک پلی‌ساقارید قابل حل در آب، با قابلیت استفاده در انواع کارکردها، بهویژه تهیه نانوذره‌ها است [۱۴]. همانند کایتوسان، TMC ویژگی‌های مخاط‌چسبی دارد و به عنوان یک افزاینده جذب عمل می‌کند [۴]. برای نمونه، Sandri^(۲) و همکاران، ویژگی‌های افزایش نفوذ نانوذره‌های کایتوسان و TMC بازگذاری شده با انسولین را مطالعه کردند. مطالعه‌های آزمایشگاهی با استفاده از تک‌لایه سلولی Caco-2، تأثیر نانوذره‌های تولیدشده را بر افزایش جذب انسولین نشان داد که این اثر افزایشی، برای نانوذره‌های کایتوسان و TMC همانند بود؛ اما این افزایش به ترتیب، از طریق سازوکارهای باز کردن اتصال‌های محکم و اندوسیتوز رخ داد [۱۵]. استفاده از کایتوسان و مشتق‌های آن، ممکن است به دلیل تأثیر روی غشاء پلاسمایی و یا برهم‌کنش

دلیالت وقتی رخ می‌دهد که لوزالمعده نتواند انسولین تولید کند و یا بدن نتواند به طور مؤثر از انسولین تولیدشده استفاده کند. بر اساس گزارش سازمان جهانی بهداشت (WHO)، در سرتاسر جهان، به تقریب سه میلیون نفر در سال، به دلیل بیماری دیابت، پیش‌بینی شده که جمعیت بیماران مبتلا به دیابت، از ۴۱۵ میلیون نفر در سال ۲۰۱۵ میلادی به ۶۴۲ میلیون نفر در سال ۲۰۴۰ برسد [۱]. بیماران دیابتی نوع ۱ برای داشتن یک زندگی عادی، نیازمند تزریق روزانه انسولین هستند که ناخوشایند، دردناک و همچنین دارای اثرهای زیان‌آور است. تلاش‌های گستردۀای در سرتاسر جهان برای توسعه سامانه‌های دارورسانی غیرتهاجمی، به ویژه از مسیر خوراکی، صورت گرفته است. مسیر خوراکی بسیار پذیرفته شده است، هرچند رسانش مستقیم داروهای پیتیدی و پروتئینی از این مسیر امکان‌پذیر نیست. در رسانش خوراکی، مانع‌هایی مانند وجود محیط اسیدی معده، حضور آنزیم‌های پروتولیتیکی و انتشار ضعیف انسولین از مخاط روده، سبب زیست‌دسترس پذیری کم انسولین می‌شوند. برای غلبه بر این مانع‌ها و افزایش زیست‌دسترس پذیری، از روش‌های گوناگون از جمله سامانه‌های حامل دارو استفاده می‌شود. به دلیل برتری‌های بسیار، امروزه تمرکز پیش‌تری روی نانوذره‌های پلیمری به عنوان سامانه‌های دارورسانی وجود دارد [۲]. سامانه‌های حامل پلیمری برای رسانش انسولین، باید زیست‌تخریب‌پذیر، غیر سمی، زیست‌سازگار و بدون اثر ایمنی‌زایی باشند. همچنین، به راحتی تهیه و مشخصه‌یابی شوند و بهتر است آبدوست و ارزان باشند [۳]. کایتوسان، دکستران، آژینات، پلی (۷-گلوتامیک اسید) و هیالورونیک اسید، به عنوان پلیمرهای طبیعی و پلی (لاکتیک اسید) (PLA)، پلی (لاکتیک-کو-گلایکولیک اسید) (PLGA)، پلی کاپرولاکتون (PCL)، پلیمرهای اکریلیک و پلی‌آلیل‌آمین، به عنوان پلیمرهای مصنوعی، به منظور پوشینه‌دار کردن انسولین برای رسانش خوراکی، به کار می‌روند [۴].

آژینات یک پلی‌ساقارید طبیعی است که به دلیل زیست‌سازگاری، مخاط‌چسبی و زیست‌تخریب‌پذیری عالی و شرایط ژل شدن ملایم، به عنوان حامل برای داروهای پیتیدی و پروتئینی استفاده می‌شود [۵]. سدیم آژینات، ویژگی‌های یگانه ایجاد اتصال‌های عرضی را در حضور کاتیون‌های چند بنیانی، مانند Ca^{+2} دارد. آژینات

(۱) Sarmiento

(۲) Sandri

از شرکت آکسفورد، پتاسیم دی هیدروژن فسفات (KH_2PO_4) از شرکت فلوكا و بقیه مواد از شرکت مرک خریداری شدند.

دستگاه‌ها

دستگاه‌های پمپ سرنگی مدل Longer Pump میکروسکوپ الکترونی روشنی^(۴) (SEM) مدل Philips دستگاه تعیین اندازه ذره‌ها مدل Malvern طیف سنج تشید مغناطیس هسته‌ای^(۵) (NMR) مدل Bruker تبدیل فوریه فروسرخ^(۶) (FT-IR) مدل Hettich و PerkinElmer)، سانتریفیوژ یخچالدار مدل Hettich و الیزا خوان مدل Ewarness به کار گرفته شد.

روش‌ها

ساخت تری‌متیل کایتوسان (TMC)

برای ساخت TMC، ابتدا ۱ گرم کایتوسان، به ۵۰ میلی‌لیتر NMP که روی همزن در حال چرخش بود، افزوده شد. پس از گذشت ۵ ساعت و در شرایط دمایی بین ۵۰ تا ۶۰ درجه سلسیوس، به مخلوط به‌دست‌آمده ۵ میلی‌لیتر متیل یدید افزوده شد و این عمل در بازه‌های زمانی یک ساعت، دو مرتبه دیگر تکرار شد. متیل یدید سمی و فرار است، به همین دلیل، افزودن و انتقال آن حتماً باید زیر هود، با پوار و همراه با بازچرخانی انجام شود. پس از گذشت ۲۴ ساعت و با افزودن استون به محلول، رسوب به صورت کامل ایجاد شده و با استفاده از کاغذ صافی، قیف بوخر و پمپ خالد، جدا شد. طی این فرایند، در ساختار کایتوسان، به جای هیدروژن‌های متصل به آمین نوع اول، متیل متصل می‌شود. به منظور خالص سازی رسوب به دست آمده (تبدل یون I^- با Cl^-)، از کیسه دیالیز با برش وزن مولکولی^(۷) ۱۲ کیلو Dalton استفاده شد. خالص سازی به مدت ۲۴ ساعت در محیط آب نمک ۱۰٪ وزنی انجام شده و پلیمر خالص سازی شده، با استفاده از استون رسوب کرد. پس از خشک‌کردن، رسوب به دست آمده با روش طیف‌سنجی H-NMR مورد تجزیه و تحلیل قرار گرفت [۲۲].

محلول‌های لازم برای ساخت نانوذرات

محلول انسولین با حل کردن آن در هیدروکلریک اسید در $\text{pH}=2/2$ تهیه شد. محلول‌های آلتینات (۰/۰۶۳ w/v)^(۸) و

با پروتئین‌ها یا اجزای سولولی دارای منفی، منجر به ایجاد سمیت شود [۱۶، ۱۷]. پلی‌اتیلن‌گلایکول (PEG) یک پلیمر زیست‌سازگار، زیست‌تخریب‌پذیر، بسیار آب‌دوست و غیر سمی است و به طور عمده به عنوان یک پلیمر پیوندی استفاده می‌شود و به گونه‌ای اتصال‌های عرضی ایجاد می‌شوند که با تشکیل کانال‌هایی، سامانه توانایی رهایش دارو را داشته باشد [۱۸، ۱۹]. اتصال PEG به کایتوسان و مشتق‌های آن، می‌تواند زیست‌سازگاری و همچنین، حلالیت کایتوسان و مشتق‌های آن را در محیط‌های آبی افزایش دهد [۱۷، ۱۸]. مائو^(۱) و همکاران نشان دادند که صرف نظر از وزن مولکولی PEG، TMC پگیله شده به طور کامل و در تمام pH ها قابل حل در آب است و پگیله کردن TMC منجر به افزایش زیست سازگاری آن می‌شود [۱۷، ۲۰]. کاهش سمیت TMC با پگیله کردن، توسط حینتاپاتاناکیت^(۲) و همکاران تأیید شد. همچنین، این پژوهش نشان داد که به دلیل نفوذ زنجیره‌های PEG به درون موکوس و برهمکنش‌های یونی بین TMC پگیله شده و دارای بار مثبت، با اجزای سیالیک اسید لایه موکوس و دارای بار منفی، ویژگی‌های مخاط چسبی TMC افزایش می‌یابد [۲۱].

هدف از این پژوهش، پوشش دادن نانوذرهای آلتینات بازگذاری شده با انسولین، توسط TMC و سپس پگیله کردن آن‌ها، به منظور کنترل و ایجاد تأخیر در رهایش انسولین و افزایش زمان ماندگاری نانوذرهای در دستگاه گوارش است. همچنین، این سامانه ترکیبی با حضور PEG، می‌تواند به منظور محدود کردن اثر سامانه ایمنی نیز استفاده شود.

بخش تجربی مواد

انسولین انسانی از شرکت داروسازی اکسیر، آلتینات با مقدار بالای گلورونیت از شرکت BDH، کایتوسان با درجه استیل زدایی بیش از ۹۰٪ از شرکت اکروس، متوكسی پلی‌اتیلن‌گلایکول (mPEG-SVA) فعال شده با سوکسینیمیدیل والریک اسید (NMP) از شرکت لاپسان بیو اینک، N-متیل پیروولیدون^(۳) از شرکت مرک، کلسیم کلرید از شرکت سیگما، متیل یدید

(۱) Nuclear Magnetic Resonance (NMR)

(۲) Fourier Transform Infrared (FTIR)

(۳) Molecular Weight Cut-off

(۱) Mao

(۲) Jintapattanakit

(۳) N-methyl Pyrrolidone (NMP)

(۴) Scanning Electron Microscopy (SEM)

و اکنش دادند. سپس، این محلول با همان شرایط پیشین سانتریفیوز شده و نانوذرهای جدا شده و با آب مقطر شسته شدند [۲۳].

طراحی آزمایش‌ها

با توجه به مطالعه‌های انجام شده، سه متغیر نسبت آژینات به انسولین، نسبت آژینات به TMC و دور همزن، به عنوان متغیرهای مؤثر بر فرایند تولید نانوذرهای انتخاب شده [۷، ۲۴] و اثر آن‌ها بر اندازه نانوذرهای EE بررسی شده و مقدارهای بهینه برای این پاسخ‌ها به دست آمد. بررسی متغیرها و به دست آوردن پاسخ‌های بهینه با استفاده از طراحی باکس - بنکن در سه سطح و ۵ تکرار در شرایط مرکزی، با استفاده از نرم افزار طراحی آزمایش‌ها (Design-Expert version 7.0.0) انجام شد. فهرست متغیرهای بررسی شده و سطوح آن‌ها در جدول ۱ و آزمایش‌های طراحی شده در جدول ۲ ارایه شده‌اند.

ارزیابی اندازه نانوذرهای و پتانسیل زتا

میانگین اندازه هیدرودینامیکی و پتانسیل زتا نانوذرات، توسط طیف سنجی همیستگی فوتون (PCS) (۱) و با استفاده از دستگاه تعیین اندازه ذره‌ها در دمای ۲۵ درجه سلسیوس و زاویه شناسایی ۹۰ درجه اندازه‌گیری شد. برای تعیین عامل‌های گفته‌شده، محلول‌های تازه تهیه‌شده، با آب مقطر رقیق شدند تا غلظت محلول در محدوده قابل تشخیص برای دستگاه زتا سایزر قرار گیرد.

ارزیابی تشکیل لایه‌ها در نانوذرهای با آزمون FTIR
حضور لایه‌های TMC و PEG روی سطح نانوذرات، توسط FT-IR مورد بررسی قرار گرفت.

بررسی شکل نانوذرهای با SEM

به منظور بررسی ریختشناسی و تغییر شکل نانوذرهای پس از افزودن لایه‌ها، پودر لیوفلیزه نانوذرهای آژینات، آژینات - TMC و آژینات - PEG با روکشی از جنس طلا پوشش داده شده و با SEM تصویربرداری شدند.

اندازه‌گیری بازده به دام افتادن (EE) و بازده بارگذاری (LE) انسولین برای تعیین مقدار انسولین به دام افتاده در نانوذرات، از روش غیرمستقیم استفاده شد. در این روش، EE با کم کردن مقدار

کلسیم کلرید (۲۰ میلی‌مولار)، به ترتیب با انحلال ۰،۰۶۳ گرم آژینات ۰،۰۹۴ گرم کلسیم کلرید در ۱۰۰ میلی‌لیتر آب مقطر تهیه شدند. برای حل شدن آژینات، محلول آن به مدت ۲۴ ساعت روی همزن هم زده شد. همچنین، محلول TMC با حل کردن آن در آب مقطر، مطابق طراحی آزمایش تهیه شد. سپس، pH محلول‌های آژینات و TMC، به ترتیب روی ۴،۹ و ۵ تنظیم شد. محلول ۰،۱ مولار تریس‌هیدروکلرید، با حل کردن ۱۵۸ میلی‌گرم تریس‌هیدروکلرید در ۱۰ میلی‌لیتر آب مقطر تهیه و pH آن روی ۵ تنظیم شد. برای تهیه محلول mPEG-SVA آن را با جرم مولکولی ۱۰،۰٪، مقدار ۱۰ میلی‌گرم از آن با pH=۵ کیلودالتون در ۱۰ میلی‌لیتر از محلول تریس‌هیدروکلرید با حل شد. سپس pH محلول به نزدیک pH فیزیولوژیکی رسانده شد. بهمنظور استفاده از محلول‌های یادشده برای تهیه نانوذره، تمامی آن‌ها با صاف سرنگی ۰،۴۵ میکرون صاف شدند [۷، ۲۳].

تهیه نانوذرات

در این پژوهش، نانوذرهای بارگذاری شده با انسولین با روش ژل شدن یونی آژینات با کلسیم کلرید و به دنبال آن، تشکیل کمپلکس پلی‌الکترولیت بین آژینات و TMC تهیه شده و سرانجام توسط mPEG-SVA پگیله شدند.

چکیده‌وار، مقدار ۲۳،۵ میلی‌لیتر محلول آژینات (۰،۰۶۳٪ pH=۴،۹) با ۵ میلی‌لیتر محلول انسولین، مخلوط شد. سپس، ۱/۵ میلی‌لیتر محلول کلسیم کلرید (۲۰ میلی‌مولار) به صورت قطره قطره و با استفاده از پمپ سرنگی، در مدت ۱۵ دقیقه و با سرعت هم زدن مشخص (طبق طراحی آزمایش)، به محلول زیرین افزوده شد. سپس، محلول به دست آمده به مدت ۱۵ دقیقه روی همزن هم زده شد. در مرحله بعد، ۵ میلی‌لیتر محلول TMC به صورت قطره قطره و با استفاده از پمپ سرنگی، در مدت ۳۰ دقیقه و با سرعت هم زدن مشخص (طبق طراحی آزمایش)، به محلول به دست آمده از مرحله پیشین، افزوده شد. سپس، محلول به دست آمده، به منظور شکل گیری بهتر نانوذرهای به مدت ۳۰ دقیقه روی همزن هم زده شد. محلول دارای نانوذرهای به مدت ۲۰ دقیقه با شدت ۱۲۰۰۰ دور بر دقیقه سانتریفیوز شده و نانوذرهای جدا شدند [۷]. در انتهای نانوذرات، پس از شستشو با آب مقطر، به درون محلول mPEG-SVA (۰،۱٪ w/v) منتقل شده، درون محلول توزیع شده و به مدت ۱۵ دقیقه، با شدت هم زدن ملایم،

(۱) Photon Correlation Spectroscopy (PCS)

جدول ۱- متغیرهای آزمایش و سطحهای انتخابی برای طراحی باکس-بنکن، به منظور تولید نانوذرهای آلزینات.

متغیر	سطح ۱	سطح ۲	سطح ۳
A: آلزینات/TMC	۲/۰۰	۳/۲۵	۴/۵۰
B: انسولین/آلزینات	۱	۲	۳
C: دور همزن (rpm)	۲۰۰	۵۰۰	۸۰۰

جدول ۲- طراحی باکس-بنکن برای بررسی اثر عاملهای مؤثر بر اندازه نانوذرهای EE و نتیجه‌های به دست آمده.

شماره آزمایش	متغیرها	پاسخها	EE	اندازه نانوذرات (nm)	(rpm) دور همزن
۱	۳/۲۵	۱	۹۱/۲۵	۸۰۹/۲	۲۰۰
۲	۳/۲۵	۲	۷۷/۳۰	۲۹۲/۵	۵۰۰
۳	۲/۰۰	۱	۹۰/۳۰	۵۱۱۴/۰	۵۰۰
۴	۳/۲۵	۲	۸۵/۳۴	۵۳۷/۵	۵۰۰
۵	۲/۰۰	۲	۸۴/۸۶	۴۵۳/۵	۸۰۰
۶	۲/۰۰	۲	۸۲/۵۰	-	۲۰۰
۷	۳/۲۵	۲	۸۴/۳۹	-	۵۰۰
۸	۴/۵۰	۱	۸۷/۹۴	۱۹۷/۷	۵۰۰
۹	۳/۲۵	۱	۹۳/۸۵	۵۶۷/۵	۸۰۰
۱۰	۳/۲۵	۲	۸۴/۸۶	۵۳۰/۹	۵۰۰
۱۱	۴/۵۰	۳	۸۰/۸۴	۴۳۶/۷	۵۰۰
۱۲	۲/۰۰	۳	۸۰/۱۳	۴۹۶/۱	۵۰۰
۱۳	۴/۵۰	۲	۸۵/۳۴	۳۰۹/۲	۲۰۰
۱۴	۴/۵۰	۲	۹۰/۵۴	۲۴۸/۷	۸۰۰
۱۵	۳/۲۵	۳	۷۰/۹۱	-	۲۰۰
۱۶	۳/۲۵	۳	۷۰/۹۱	۷۵۵/۲	۸۰۰
۱۷	۳/۲۵	۲	۸۶/۲۸	۵۴۴/۰	۵۰۰

تفاوت بین مقدار کل انسولین اولیه استفاده شده برای تهیه نانوذرهای آزاد و مقدار انسولین آزاد در مایع رویی پس از جدا شدن نانوذرات، به عنوان درصدی از وزن خشک نانوذرات، بازده بارگذاری نامیده می‌شود و با استفاده از معادله (۲) محاسبه شد. وزن خشک نانوذرهای آزاد پس از خشک کردن محلول منجمد شده نانوذرهای آزاد در دستگاه خشک کن انجامدی به دست آمد.

انسولین آزاد موجود در مایع رویی محلول سانتریفیوژ شده دارای نانوذرهای آزاد استفاده شده برای ساخت نانوذرهای آزاد و طبق معادله (۱) محاسبه شد.

$$\text{وزن انسولین در مایع رویی - وزن کل انسولین} = \frac{\text{وزن کل انسولین}}{\text{وزن کل انسولین}} \times 100 \quad (1)$$

روی ۱/۲ تنظیم شد. برای تهیه محلول $SIF = 6/8$ گرم KH_2PO_4 در ۲۵۰ میلی لیتر آب مقطر حل شده، با ۷۷ میلی لیتر محلول ۰/۲ مولار سدیم هیدروکسید مخلوط شده و ۵۰۰ میلی لیتر آب مقطر به آن افزوده شد. pH محلول به دست آمده ۶/۸ بوده و سرانجام، به حجم ۱۰۰۰ میلی لیتر رسانده شد.

برای بررسی رهایش انسولین از نانوذره‌ها در هریک از دو محیط SGF و SIF به صورت جداگانه، مقدار مناسبی از پودر لیوفیلیزه نانوذره‌ها در آب مقطر پراکنده شده و درون کیسه دیالیز با برش وزن مولکولی ۱۲ کیلو Dalton ریخته شد. سپس، کیسه دیالیز در ۵ میلی لیتر از محیط رهایش SGF یا SIF فرو رده شد. ظرف شیشه‌ای دارای این مجموعه در گرماخانه لرزان با دمای ۳۷ درجه سلسیوس و دور ۱۰۰ rpm قرار گرفت. در فاصله‌های زمانی معین، میزان ۱ میلی لیتر از محیط اطراف کیسه دیالیز برداشته شده و توسط همان مقدار از محیط تازه و گرم (۳۷ °C) جاشین شد، به طوری که حجم کل محیط آزادسازی، در طول زمان ثابت باقی ماند. همه آزمایش‌ها با سه بار تکرار انجام شده و میزان جذب داروی موجود در نمونه‌های رهایش، با روش بردفورد با استفاده از الایزا خوان اندازه‌گیری شد.

نتیجه‌ها و بحث

ارزیابی ساختار پلیمر TMC با آزمون NMR

گروههای آمین نوع اول کایتوسان، دارای pK_a حدود ۶ هستند که در pH خنثی باعث حلالیت کم آن‌ها در محلول آبی و کاهش توانایی افزایندگی نفوذ می‌شود. کربوکسیله کردن گروههای آمین و یا هیدروکسیل و پگیله کردن گروههای آمین، روش‌های سودمندی برای بهبود حلالیت آبی کایتوسان در pH خنثی هستند. اصلاح‌های دیگر، شامل ایجاد گروههای آمین چهارتایی، باعث پایداری، بار مثبت مستقل از pH و همچنین حلالیت آبی در pH خنثی می‌شود بیشترین چهارتایی شدن، توسط تری‌متیله شدن جزئی گروه آمین به دست می‌آید که منجر به تولید TMC می‌شود [۲۶].

مسیر ساخت TMC در شکل ۱ نشان داده شده است. همان‌گونه که در شکل ۱ دیده می‌شود، طی مرحله‌های ساخت TMC، به جای هیدروژن‌های متصل به گروه آمین در ساختار کایتوسان، متیل قرار می‌گیرد. افزایش حلالیت، به جایگزینی گروههای آمینی نوع اول با گروههای آمینی چهارتایی، در موقعیت کربن دوم در کایتوسان وابسته است. به منظور تأیید ساختار پلیمر TMC ساخته شده، از آزمون NMR استفاده شد.

$$\text{وزن انسولین در مایع رویی - وزن کل انسولین} \times 100 = \frac{\text{وزن خشک نانوذره‌ها}}{\text{وزن خشک نانوذره‌ها}}$$

برای تعیین مقدار انسولین آزاد در مایع رویی، محلول دارای نانوذره‌ها در ۱۲۰۰ rpm و دمای ۴ °C به مدت ۲۰ دقیقه ساتریفیوژ شد و میزان انسولین آزاد موجود در مایع رویی، با روش بردفورد با استفاده از الایزا خوان اندازه‌گیری شد.

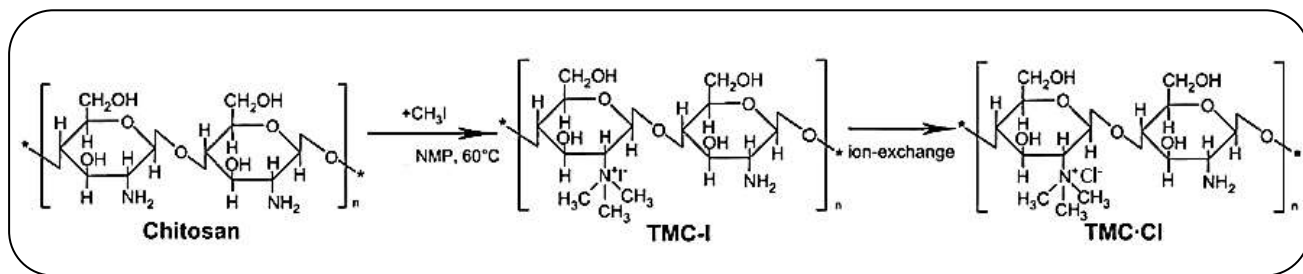
روش بردفورد

برای تعیین میزان انسولین موجود در مایع رویی نمونه‌های ساتریفیوژ شده و همچنین، نمونه‌ای رهایش، از روش بردفورد استفاده شد. در این روش، حجم معینی از نمونه دارای انسولین، تا حجم ۱۰۰ میکرولیتر برداشته شده و با بافر مناسب به حجم ۱۰۰ میکرولیتر رسید. سپس، یک میلی لیتر از معرف بردفورد به محلول افزوده شده و پس از گذشت ۲ تا ۶ دقیقه پس از اختلاط، مقدار ۲۵۰ میکرولیتر از هر نمونه با سه بار تکرار در ظرف الایزا ریخته شده و جذب نمونه‌ها در طول موج ۶۰۰ نانومتر، توسط الایزا ریدر (Ewarness) [۲۵] آمریکا خوانده شد.

برای تهیه معرف، میزان ۱۰۰ میلی گرم کوماسی بریلینت آبی جی ۲۵۰ در ۵۰ میلی لیتر اتانول ۹۵٪ حل شده و به محلول به دست آمده مقدار ۱۰۰ میلی لیتر فسفریک اسید ۸۵٪ (w/v) آرام آرام افزوده شد. سپس، مقدار ۵۰ میلی لیتر آب مقطر به محلول به دست آمده اضافه شد. محلول به دست آمده را می‌توان برای مدت طولانی در دمای ۴ °C نگهداری کرد. این محلول برای چند هفته پایدار است؛ با این وجود، ممکن است طی این مدت، رنگ از محلول رسوب نماید؛ در تیجه می‌باشد پیش از هر بار استفاده آن را از صافی عبور داد. برای استفاده از معرف، ۵۰ میلی لیتر از این محلول با ۲۰۰ میلی لیتر آب مقطر رقیق شده و از کاغذ صافی گذرانده شد. محلول ایجاد شده می‌تواند برای مدت ۱ هفته در دمای ۴ °C نگهداری شود [۲۵].

بررسی رهایش انسولین از نانوذره‌ها در محیط‌های شبیه‌سازی شده معده (SGF) و روده (SIF)

محیط‌های شبیه‌سازی شده معده (SGF) (بافر HCl در pH = ۱/۲) و روده (SIF) (بافر فسفات در pH = ۶/۸)، برای انجام مطالعه‌های آزادسازی دارو استفاده شدند. برای تهیه محلول ۲ گرم سدیم کلرید در ۷ میلی لیتر هیدروکلریک اسید حل شده و سرانجام، با آب مقطر به حجم ۱۰۰۰ میلی لیتر رسانده شد و pH محلول



شکل ۱- مسیر ساخت TMC [۲۷]

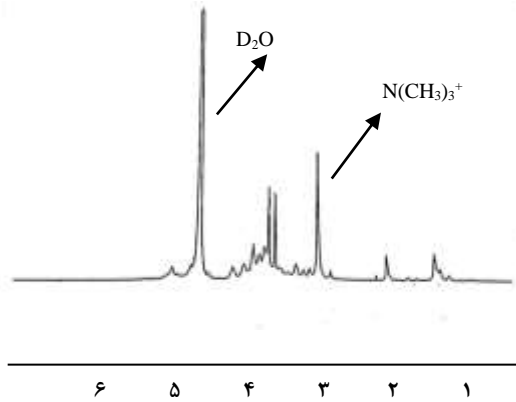
با تعداد مرحله‌های واکنش، زمان واکنش و درجه‌های گوناگون استیل زدایی کایتوسان، تغییر داد. مقدار DQ برای TMC ساخته شده، ۲۹/۷۶ محسوبه شد. TMC با DQ حدود ۱۰٪ در بازه‌ی pH ۹-۱ قابل حل است و بدون در نظر گرفتن درجه استیل زدایی و وزن مولکولی، DQ حدود ۴۰٪ بیشترین حل پذیری را دارد [۲۷]. TMC با DQ بیش از ۲۰٪ قادر به باز کردن اتصال‌های محکم به هم چسبیده است. میزان پهینه DQ برای رسانش پروتئین‌ها و ترکیب‌ها با وزن مولکولی پایین از میان بافت مخاطی، حدود ۴۰ تا ۵۰٪ است [۲۸] بنابراین، مقدار ۲۹/۷۶ برای TMC تهیه شده قابل قبول است.

تعیین اثر عامل‌های مؤثر بر اندازه نانوذره‌ها و بازده به‌دام‌افتادن (EE)

به منظور بررسی میزان اثر متغیرهای انتخاب شده، بر اندازه نانوذرهای EE و بهینه سازی نانوذرهای از طراحی باکس-بنکن با تکرار در شرایط مرکزی استفاده شد طراحی یاد شده، به همراه نتیجه‌های به دست آمده از اندازه‌گیری پاسخ‌ها، در جدول ۲ داده شده است. مدل‌سازی و بهینه‌سازی اندازه نانوذرهای با صرف نظر کردن از نتیجه‌های به دست آمده از آزمایش‌های ۶ و ۷ انجام شد، زیرا اندازه ذرهای ساخته شده در این آزمایش‌ها بسیار بزرگ بود، که ممکن است به دلیل تجمع نانوذرهای باشد. برای تعیین عامل‌های مؤثر، p-value هر عامل محاسبه شد. نشان دهنده معنی دار بودن تأثیر عامل است.

پیغام و رسی اندازه نانو ذره ها

برای بررسی اندازه نانوذره‌هه، از مدل درجه سوم^(۳) ($p < 0.05$) استفاده شد. آنالیز واریانس^(۴) (ANOVA) مدل و عامل‌های مؤثر بر اندازه نانوذره‌ها، در جداول ۳، ۴، ۵ آمده شده‌اند.



شکل ۲- طیف H^1 NMR تری متیل کاپتوسان تهیه شده.

شکل ۲ طیف NMR تری متیل کایتوسان را نشان می‌دهد. در این شکل، پیک ظاهر شده در ناحیه ppm ۳، نشان دهنده گروه $\text{N}(\text{CH}_3)_3^+$ است که تأیید کننده ساخت موفقیت آمیز TMC است [۲۶، ۲۲]. از طرفی، TMC تهیی شده به راحتی در آب با pH خنثی و بازی حل شد، که این هم دلیلی بر متیله شدن گروه آمین در کایتوسان است.

تراکم بار TMC با درجه متیله شدن گروه آمین در کایتوسان،
یا همان درجه چهارتایی شدن^(۱) (DQ) تعیین می‌شود که
یک عامل کلیدی برای دارا بودن ویژگی‌های مخاطچسبی و
افزایندگی نفوذ در برابر مخاط روده است [۲۷]. مقدار DQ را
می‌توان با استفاده از معادله (۳) محاسبه کرد [۲۸، ۲۷].

$$DQ\% = \left[\frac{[(CH_r)_r]}{[H]} \times \frac{1}{9} \right] \times 100 \quad (3)$$

که در آن $\text{[CH}_3\text{]}_3$ و [H] به ترتیب، انتگرال پیک‌های مربوط به گروه متیل سه تایی و هیدروژن است. درجه DQ را می‌توان

(1) Degree of Quaternization (DO)

(۲) Cubic

(iii) Analysis of Variance (ANOVA)

جدول ۳- آنالیز واریانس عامل‌های مؤثر بر اندازه نانوذره‌ها.

p-value	F-value	مجموع مربعات	عامل موثر
۰,۰۰۰۳	۴۱۱,۷۸	۶,۱۸۹×۱۰ ^۶	/آلرینات TMC :A
۰,۰۰۳۶	۶۹,۷۵	۱,۰۴۸×۱۰ ^۶	:انسولین/آلرینات B
۰,۰۰۱۶	۱۲۱,۸۰	۱,۸۳۱×۱۰ ^۶	:دور همزن (rpm) C
۰,۰۰۰۳	۳۹۲,۳۵	۵,۸۹۷×۱۰ ^۶	AB
۰,۰۰۱۷	۱۱۵,۵۹	۱,۷۳۷×۱۰ ^۶	AC
۰,۰۰۴۶	۵۸,۷۸	۸,۸۳۶×۱۰ ^۵	BC
۰,۰۱۴۱	۲۶,۶۲	۴,۰۰۱×۱۰ ^۵	A ²
۰,۰۰۲۶	۸۶,۳۳	۱,۹۹۸×۱۰ ^۶	B ²
۰,۰۱۰۵	۳۳,۰۵	۴,۹۶۸×۱۰ ^۵	C ²
۰,۰۰۰۹	۱۳۵,۳۱	۲,۰۳۴×۱۰ ^۷	مدل

برهمکنش‌های الکترواستاتیکی بین انسولین و پلیمر، اندازه نانوذره‌ها کاهش می‌یابد.

برورسی بازده بهداد افتادن (EE)

آنالیز واریانس مدل و عامل‌های مؤثر بر EE در جدول ۴ داده شده است.

مطابق با نتیجه‌های ANOVA، نسبت انسولین/آلرینات تنها عاملی است که دارای p-value کمتر از ۰,۰۵ است و در نتیجه، بیشترین تاثیر را روی EE دارد. نرم‌افزار برای EE مدل خطی را پیشنهاد داد و با توجه به عامل‌های مؤثر، سرانجام رابطه به شکل معادله (۵) مشخص شد.

$$EE = +83,97 + 0,86(A) - 7,57(B) + 1,27(C) \quad (5)$$

با افزایش میزان انسولین، برهمکنش‌های الکترواستاتیکی بین انسولین و آلرینات بیشتر شده و این امر موجب به دام افتادن بیشتر انسولین درون نانوذره‌ها می‌شود. بنابراین، همان‌گونه که از معادله (۵) هم مشخص است، با کاهش نسبت انسولین/آلرینات (B)، افزایش می‌یابد.

نمودار اثر عامل‌های طراحی بر EE در شکل ۳ ارایه شده است. این شکل نیز نشان می‌دهد که با کاهش نسبت انسولین/آلرینات، EE افزایش می‌یابد و تغییر نسبت انسولین/آلرینات تاثیر معنی داری روی EE ندارد.

مطابق با نتیجه‌های آنالیز واریانس، هر سه عامل دور همزن، نسبت TMC/آلرینات و نسبت انسولین/آلرینات روی اندازه نانوذره‌ها تاثیرگذار بودند ($p < 0,05$) و رابطه نهایی برای اندازه نانوذره‌ها، به شکل معادله (۴) مشخص شد.

$$\text{Size} = +476,23 - 1243,93(A) + 1144,78(B) - 1121,77(C) + 1214,22(AB) + 1141,53(AC) - 1050,93(BC) + 387,3(A) + 697,57(B) + 659,32(C) \quad (4)$$

معادله (۴) نشان می‌دهد که با افزایش دور همزن (C) و نسبت TMC/آلرینات (A) و کاهش نسبت انسولین/آلرینات (B)، اندازه نانوذره‌ها کاهش می‌یابد. در تحلیل این نتیجه‌ها، می‌توان گفت که با افزایش میزان TMC که دارای بار مثبت است، نسبت به آلرینات که دارای بار منفی است (کاهش TMC/آلرینات)، برهمکنش‌های بین TMC و ذره‌های آلریناتی و در نتیجه قطر لایه TMC که ذره‌های آلریناتی را می‌پوشاند، بیشتر شود و اندازه نانوذره‌های بزرگ‌تر می‌شود که این نتیجه همانند با نتیجه سارماتو و همکاران در ساخت نانوذره‌های آلرینات/کایتوسان است [۷].

با افزایش دور همزن، تنفس وارد شده به نانوذرات، در هنگام تشکیل شدن بیشتر است و در نتیجه نانوذره‌ها با اندازه کوچک‌تر ساخته می‌شوند. با افزایش میزان انسولین نسبت به آلرینات (کاهش نسبت انسولین/آلرینات) نیز، به دلیل بیشتر شدن

جدول ۴- آنالیز واریانس عامل‌های موثر بر EE

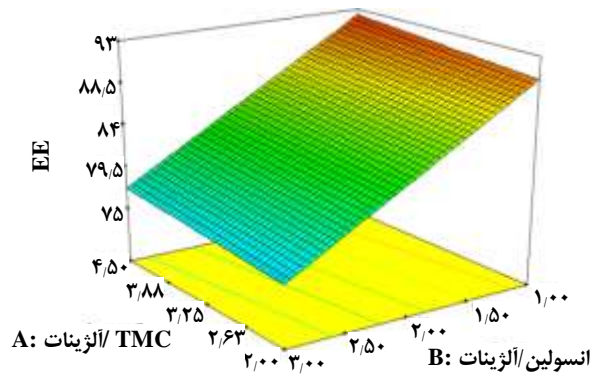
عامل مؤثر	مجموع مربعات	F-value	p-value
A: آلزینات /TMC	٥٩٠	٠,٣٩	٠,٥٤٢١
B: انسولین/آلزینات	٤٥٨,٣٩	٣٠,٤٥	< ٠,٠٠٠١
C: دور همزن (rpm)	١٢٩٠	٠,٨٦	٠,٣٧١٤
مدل	٤٧٧,٠٩	١٠,٥٦	٠,٠٠٠٩

در این پژوهش، ۳۲٪ است که در ساخت نانوذره‌ها، مقدار دلخواهی به شمار می‌آید.

پتانسیل زتا یک شاخص مناسب برای نشان دادن بار سطحی در دسترس روی سطح نانوذره‌ها است. از آنجا که آژینات یک پلی‌آئیون بوده و دارای بار منفی است و TMC پلیمری با بار مثبت است، با افزودن محلول TMC به نانوذره‌های آژینات و اندازه‌گیری پتانسیل زتا، دیده شد که بار سطحی نانوذره‌ها از یک مقدار منفی به مقدار مثبت می‌کند که این امر نشان دهنده پوشانده شدن ذره‌های آژیناتی، با پلیمر TMC است.

اوز-يابی تشکیل لایه‌ها در نانوذره‌ها با آزمون FT-IR

برای تایید تشکیل لایه‌ها و اتصال آن‌ها به یکدیگر، از نانوذره‌های به دست آمده پس از نشاندن هر لایه، آزمون FT-IR به عمل آمد. شکل ۴، الف تا ج، به ترتیب مربوط به طیف‌های FT-IR پلیمر آژینات، نانوذره‌های آژینات TMC و آژینات C-O-C است. پیک در بازه‌ی 1030 cm^{-1} ، مربوط به کششی بوده که این پیوند در هر سه نانوذره آژینات، آژینات TMC و آژینات TMC در نانوذره‌های آژینات – TMC عمیق‌تر شده است که دلیل این امر را می‌توان به حضور پیوند C-O-C در ساختار PEG نسبت داد، که این خود تأییدی بر حضور PEG در نانوذره‌های سه لایه است. پیک 1560 cm^{-1} ، مربوط به آمین نوع اول خمی است که پیک‌های 1607 cm^{-1} در نانوذره‌های دولایه و 1553 cm^{-1} در نانوذره‌های سه‌لایه می‌تواند مربوط به این پیوند باشد [۳۰]. پیک در بازه‌ی 2900 cm^{-1} مربوط به پیوند CH کششی منظم متیل (CH_3) و متیلن (CH) است که این پیوند را در هر سه طیف می‌بینیم [۲۷، ۲۹–۳۱] که عمیق‌تر شدن این پیک در طیف FTIR نانوذره‌های آژینات – TMC PEG حضم، زنجرهای، ۱ تأیید می‌کند.



شکل ۳- اثر عامل‌های مؤثر بر EE

شاپط بیمه برای اندازه نانوذرهای و EE

هدف از بهینه سازی در این پژوهش، یافتن شرایط بهینه برای کمینه شدن اندازه نانوذره‌ها و بیشینه شدن EE بود که با استفاده از نتیجه‌های به دست آمده برای پاسخ‌ها (جدول ۲) و پس از مدل سازی آن‌ها، شرایط بهینه پیشنهادی با نرم افزار به دست آمد. آزمایش تأیید نقطه بهینه و مقایسه آن با نتیجه به دست آمده از مدل انجام شد که نتیجه‌های آن در جدول ۵ ارایه شده است. در این شرایط، مقدار به دست آمده از آزمایش، با اطمینان ۹۵٪ نزدیک به نقطه پیش بینی بود. نتیجه‌های به دست آمده برای اندازه و EE نانوذره‌ها در مقایسه با مطالعه‌های دیگر [۶, ۷, ۹, ۱۵]، سیاست دلخواه هستند.

اردی بای، تو ز بع اندازه نانو ذره ها و بتانسیل تقا

توزیع اندازه نانوذره‌ها، با عنوان شاخص پراکندگی^(۱) (PDI) گزارش می‌شود و مقدار آن بین صفر تا یک تعییر می‌کند. هرجه این مقدار به صفر نزدیکتر باشد، توزیع اندازه نانوذره‌ها بهتر خواهد بود. PDI به دست آمده برای نانوذره‌های بهینه

(1) Poly Dispersity Index (PDI)

جدول ۵ - شرایط بهینه پیشنهادی توسط نرم افزار و تأیید شده با آزمایش برای اندازه نانوذره‌ها و EE.

اندازه نانوذره‌ها (nm)		دور همزن (rpm)	انسولین / آژینات	آژینات / TMC
پاسخ آزمایش تأیید کننده	پاسخ پیشنهاد شده توسط مدل			
۱۹۷	۱۹۵	۵۰۰	۱	۴/۵
۹۰/۵۸	۹۲/۳۹			

مربوط به گروه کربونیل (CO) در آمید باشد که در دو طیف دیگر TMC دیده نمی‌شود و نشان‌دهنده پیوند گروه‌های آمینی با گروه‌های کربوکسیل mPEG-SVA است [۳۰]. پیک ۱۲۵۹ در نانوذره‌های دولایه و پیک ۱۲۹۶ در نانوذره‌های سه‌لایه مربوط به پیوند C-N در آمید است. این پیوند، وقتی ظاهر می‌شود که mPEG-SVA به آمین نوع دوم مربوط به TMC متصل می‌شود، که این پیک در آژینات دیده نمی‌شود و همچنین در نانوذره‌های سه‌لایه عمیق‌تر است که این موضوع تاییدی بر اتصال PEG به نانوذره‌ها است [۳۰].

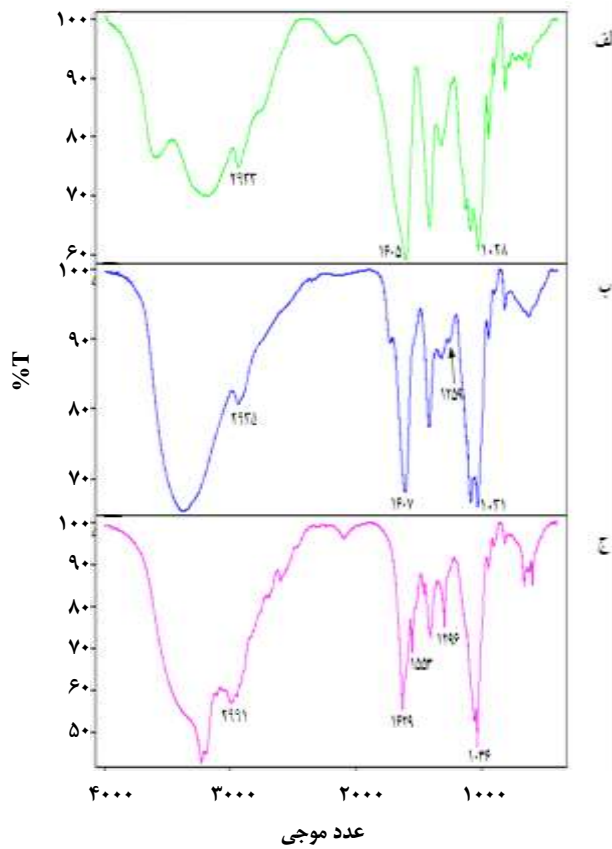
بررسی سطح نانوذره‌ها با SEM

به منظور بررسی شکل ظاهری نانوذره‌های تهیه شده با نسبت‌های بهینه، از نانوذره‌های آژینات، آژینات - TMC و آژینات - PEG - TMC آزمون SEM به عمل آمد که در شکل ۵ نشان داده شده‌اند.

همان‌گونه که در شکل مشخص است، نانوذره‌ها پس از پوشش داده شدن با TMC و PEG، به طور کامل به شکل کروی درآمده‌اند، دارای مورفولوژی به تقریب یکسانی هستند و اندازه آن‌ها نسبت به نانوذره‌های آژیناتی کوچک‌تر شده که این موضوع می‌تواند به دلیل وجود پیوندهای الکترواستاتیکی بین آژینات با بار منفی و TMC با بار مثبت باشد. همچنین، تصویرها نشان دهنده پراکندگی مناسب نانوذره‌ها به صورت منفرد و توده نشدن آن‌ها است و میانگین اندازه نانوذره‌های نهایی از روی تصویرها، حدود ۵۰ نانومتر به دست آمد.

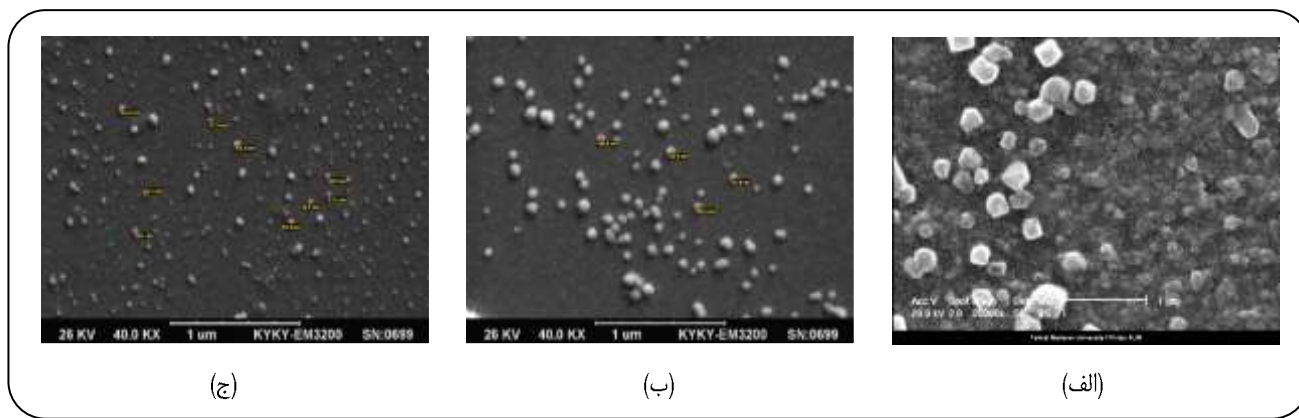
بررسی بازده بارگذاری (LE) انسولین

به منظور بررسی LE مایع رویی نمونه‌های سانتریفیوژ شده که دارای انسولین به دام نیفتاده درون نانوذره‌های تولید شده



شکل ۴- طیف FT-IR نانوذره‌ها: (الف) آژینات، (ب) آژینات-TMC، (ج) آژینات-PEG-TMC.

پیک ۳۶۵۰-۳۲۰۰ مربوط به گروه عاملی هیدروکسی (OH) است که در همه‌ی نانوذره‌ها دیده می‌شود. به طور معمول این پیک به صورت پهن است [۲۹, ۳۰] همچنین، پیک ۳۵۰۰-۳۳۰۰ بیان‌گر آمین نوع اول و از گونه‌ی کششی است که در طیف‌های مربوط به نانوذره‌های آژینات - TMC و آژینات - PEG - TMC مشاهده می‌شود [۲۹-۳۱]. پیک ۱۶۲۹ در نانوذره‌های سه‌لایه، می‌تواند



شکل ۵ - تصویرهای SEM از نانوذرهای (الف) آلزینات، (ب) آلزینات-TMC، (ج) آلزینات-PEG-TMC

و انسولین در محیط اسیدی برمی‌شود اما به دلیل این‌که حلالیت انسولین ($pI = ۵,۳$) در محیط بازی SIF کمتر از محیط اسیدی SGF است، رهایش در محیط SIF کمتر شده است. از سویی، رهایش انفجاری اولیه می‌تواند مربوط به رهایش بخشی از انسولین باشد که در حین ساختن نانوذرهای، درون شبکه پلیمری به دام نیفتاده، بلکه با برهمکنش‌های ضعیفی در سطح نانوذرهای نزدیک به سطح آن قرار گرفته است و تمایل دارد که به بیرون از سطح نانوذرهای حرکت کند. بیشترین مقدار رهایش دارو از نانوذرهای پگیله شده در طی ۶ ساعت اولیه بوده (به ترتیب ۷۵٪ و ۶۳٪ در محیط‌های SIF و SGF) و پس از آن، روند رهایش بسیار کند شده و به تقریب ثابت می‌شود.

در نانوذرهای تهیه شده، آلزینات نقش اساسی را در حساسیت نسبت به pH بازی می‌کند، بدین صورت که آلزینات در pH اسیدی معده، پایدار، اما در pH بازی روده ($pH > ۶$) متورم شده و شروع به حل شدن می‌کند. بنابراین، نسبت آلزینات به پلیمرهای دیگر، در تهیه نانوذرهای، عامل بسیار مهمی در بهینه سازی میزان رهایش خواهد بود و می‌توان با تغییر این نسبت، شرایط را به سمت رهایش بیشتر در روده جهت داد. عوادی و همکاران، نانوذرهای انسولین را با استفاده از کایتوسان و صمغ عربی تهیه کردند. آن‌ها نیز رهایش بیشتر انسولین در محیط اسیدی ($pH = ۱,۲$) را نسبت به محیط بازی ($pH = ۶,۸$)، به دلیل ویژگی‌های متفاوت صمغ عربی در pH‌های گوناگون گزارش کردند [۳۲].

برای تعیین سازوکار رهایش دارو از سامانه‌های تهیه شده، مقدارهای تجربی داروی آزاد شده با مدل تجربی ($M_t / M_\infty = kt^n$)

با نسبت‌های بهینه است، بدقت جداسده و مقدار داروی آزاد در آن، با روش برده‌فورد اندازه گیری شد. برای نانوذرهای بهینه آلزینات - TMC، LE برابر با $۳۱,۱۹\%$ و برای نانوذرهای پگیله شده $۲۱,۷۵\%$ به دست آمد.

LE نشان می‌دهد که دارو چه درصدی از وزن نانوذرهای را به خود اختصاص داده و تفاوت بین مقدارهای به دست آمده برای نانوذرهای پگیله شده و پگیله نشده، به هدررفت مقداری از دارو در طی فرایند دومین سانتریفیوژ در مرحله‌های ساخت نانوذرهای شود.

بورسی رهایش انسولین از نانوذرهای بهینه، در محیط‌های شبیه‌سازی شده معده (SGF) و روده (SIF)

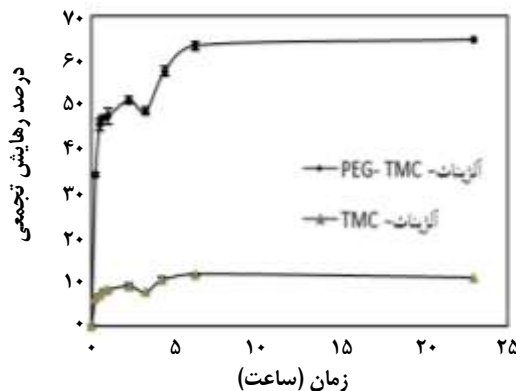
نتیجه‌های آزمایش‌های مربوط به رهایش انسولین از نانوذرهای آلزینات - TMC و آلزینات - PEG-TMC در محیط‌های رهایش SIF ($pH = ۱,۲$) و SGF ($pH = ۶,۸$)، به ترتیب در شکل‌های ۶ و ۷ نشان داده شده‌اند. همان‌گونه که در شکل‌های ۶ و ۷ دیده می‌شود، با پگیله کردن نانوذرهای رهایش انسولین به میزان چشمگیری افزایش یافته است. دلیل افزایش رهایش انسولین پس از پگیله کردن نانوذرهای می‌تواند این باشد که به دلیل آبدوست بودن انسولین، در زمان فرایند پگیله کردن نانوذرهای انسولین به سطح نانوذرهای نزدیک شده و رهایش بیشتر می‌شود.

در این پژوهش، طی ۱۵ دقیقه اول، رهایش انفجاری^(۱) انسولین از نانوذرهای آلزینات - PEG-TMC در هر دو محیط دیده شد که در محیط‌های SGF (شکل ۶) و SIF (شکل ۷) به ترتیب برابر TMC و ۴۲٪ و ۳۴٪ بود. رهایش بیشتر در SGF به حلالیت بالای

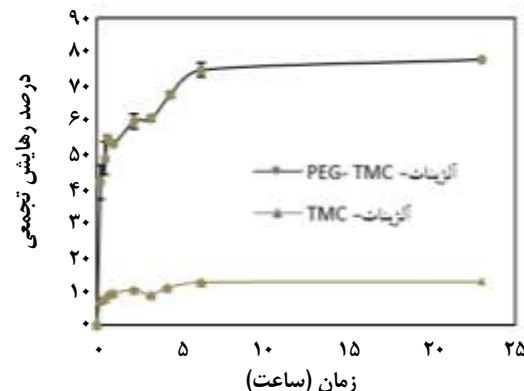
(۱) Burst Release

جدول ۶ - نتیجه‌های برآزش داده‌های رهایش با مدل تجربی.

سازوکار رهایش	برآزش مدل تجربی		نانوذره	pH سیال شبیه‌سازی شده
	R ²	n		
نفوذ شبه فیکی	۰,۸۴۲	۰,۱۲۸	آلرینات-TMC	۱,۲
نفوذ شبه فیکی	۰,۹۳۶	۰,۱۳۷	آلرینات-PEG-TMC	
نفوذ شبه فیکی	۰,۷۷۱	۰,۱۳۱	آلرینات-TMC	۶,۸
نفوذ شبه فیکی	۰,۸۴۱	۰,۱۲۶	آلرینات-PEG-TMC	



شکل ۷ - رهایش تجمعی انسولین از نانوذره‌های آلرینات-TMC و آلرینات-PEG-TMC در محیط SIF (pH = 6,8).



شکل ۶ - رهایش تجمعی انسولین از نانوذره‌های آلرینات-TMC و آلرینات-PEG-TMC در محیط SGF (pH = ۱,۲).

به دست آمد. بررسی اندازه نانوذره‌ها با استفاده از دستگاه تعیین اندازه ذره‌ها و تصویرهای SEM نشان دادند که اندازه نانوذره‌های بهینه در مقیاس نانو است. در نتیجه، نانوذره‌ها می‌توانند در مجرای روده جذب شوند. بازده به دام افتادن برای نانوذره‌های بهینه، برابر با ۹۰,۵۸٪ به دست آمد و بررسی نمونه‌ها با آزمون FT-IR تشكیل سه لایه را در نانوذره‌های آلرینات-PEG-TMC تأیید کرد تصویرهای SEM نشان دهنده کروی بودن نانوذره‌ها، پراکندگی مناسب به صورت منفرد و توده نشدن آن‌ها بود. با نسبت‌های بهینه، بازده بارگذاری برای نانوذره‌های آلرینات-TMC و آلرینات-PEG-TMC به ترتیب برابر با ۳۱,۱۹٪ و ۲۱,۷۵٪ به دست آمد که این میزان بارگذاری در مقایسه با سایر نتیجه‌های گزارش شده مقدار مناسبی است نانوذره‌های آلرینات-TMC، تنها حدود ۱۳٪ داروی درون‌گیری شده خود را در طی ۲۴ ساعت آزاد نمودند، در حالی که برای نانوذره‌های پگیله شده، رهایش انسولین افزایش چشمگیری داشت.

برآزش شد. در این مدل " M_t / M_∞ " کسری از دارو است که در زمان t رهایش پیدا کرده، k ثابت سرعت نفوذ و n شاخص توانی سازوکار انتقال دارو است [۳۳]. مقدارهای محاسبه شده برای سامانه‌ها بر اساس این مدل، در جدول ۶ نشان داده شده است. از آنجا که n در همه سامانه‌ها کمتر از ۰,۵ است، بیانگر رفتار رهایش نفوذ شبه فیکی^(۱) است که در آن منحنی جذب مانند منحنی فیکی ولی با رویکرد آهسته‌تر است.

نتیجه گیری

در این پژوهش، یکی از مشتقهای کایتوسان به نام تری‌متیل‌کایتوسان، با حل پذیری آسان در آب، تهیه و با آزمون NMR تایید شد. با انجام طراحی آزمایش، شرایط ساخت نانوذره‌ها بهینه سازی شد و شرایط بهینه برای ساخت نانوذره‌ها به صورت $\text{NMR} = ۴,۵ \text{ rpm}$ ، $\text{TMC} = ۱ \text{ آرینات/آرینات}$ و $\text{PEG} = ۵۰۰ \text{ rpm}$ دور همزن،

(۱) Pseudo-Fickian Diffusion

قدرتانی

با سپاس فراوان از سرکار خانم دکتر الهه مرتضویان و جناب آقای دکتر غلامرضا بربری و کارکنان محترم آزمایشگاه تحقیقات داروسازی صنعتی که در به ثمر رسیدن این پژوهش صمیمانه همکاری کردند.

تاریخ دریافت: ۱۳۹۶/۵/۷ ؛ تاریخ پذیرش: ۱۳۹۷/۱/۲۰

هدف از این پژوهش، پوشش دادن نانوذرهای آلزینات بازگذاری شده با انسولین، توسط TMC و سپس پگیله کردن آنها، به منظور کنترل و ایجاد تأخیر در رهایش انسولین و افزایش زمان ماندگاری نانوذرهای نانوذرهای گوارش بود. به علاوه، این سامانه ترکیبی با حضور PEG می‌تواند به منظور محدود کردن اثر سامانه ایمنی نیز استفاده شود.

مراجع

- [1] Li L., Jiang G., W. Yu G., Liu D., Chen H., Liu Y., Tong Z., Kong X., Yao J., Preparation of Chitosan-Based Multifunctional Nanocarriers Overcoming Multiple Barriers for Oral Delivery of Insulin, *Mater. Sci. Eng. C*, **70**: 278–286 (2017).
- [2] Schiffster H. A., "The Delivery of Drugs – Peptides and Proteins", Second Edi., Vol. 1. Elsevier (2011).
- [3] Mukhopadhyay P., Mishra R., Rana D., Kundu P. P., Strategies for Effective Oral Insulin Delivery with Modified Chitosan Nanoparticles: A Review, *Progress in Polymer Science*, **37**(11): 1457–1475 (2012).
- [4] Fonte P., Araújo F., Silva C., Pereira C., Reis S., Santos H. A., Sarmento B., Polymer-Based Nanoparticles for Oral Insulin Delivery: Revisited Approaches, *Biotechnol. Adv.*, **33**(6): 1342–1354 (2015).
- [5] Tahtat D., Mahlous M., Benamer S., Khodja A. N., Oussedik-Oumehdi H., Laraba-Djebari F., Oral Delivery of Insulin from Alginate/Chitosan Crosslinked by Glutaraldehyde, *Int. J. Biol. Macromol.*, **58**: 160–168 (2013).
- [6] Sarmento B., Ribeiro A., Veiga F., Sampaio P., Neufeld R., Ferreira D., Alginate/Chitosan Nanoparticles are Effective for Oral Insulin Delivery, *Pharm. Res.*, **24**(12): 2198–2206 (2007).
- [7] Sarmento B., Ribeiro A. J., Veiga F., Ferreira D. C., Neufeld R. J., Insulin-Loaded Nanoparticles are Prepared by Alginate Ionotropic Pre-Gelation Followed by Chitosan Polyelectrolyte Complexation, *J. Nanosci. Nanotechnol.*, **7**(5): 1–9 (2007).
- [8] Sarmento B., Ferreira D. C., Jorgensen L., van de Weert M., Probing Insulin's Secondary Structure after Entrapment Into Alginate/Chitosan Nanoparticles, *Eur. J. Pharm. Biopharm.*, **65**(1): 10–17 (2007).
- [9] Mansourpour M., Mahjub R., Amini M., Ostad S. N., Shamsa E. S., Rafiee-Tehrani M., Dorkoosh F. A., Development of Acid-Resistant Alginate/Trimethyl Chitosan Nanoparticles Containing Cationic β -Cyclodextrin Polymers for Insulin Oral Delivery, *AAPS PharmSciTech*, **16**(4): 952–62 (2015).

- [10] Woitiski C. B., Sarmento B., Carvalho R. A., Neufeld R. J., Veiga F., **Facilitated Nanoscale Delivery of Insulin Across Intestinal Membrane Models**, *Int. J. Pharm.*, **412**(1-2): 123–131 (2011).
- [11] BAJPAI J., BAJPAI A. K., MISHRA S., **Dynamics of Controlled Release of Potassium Nitrate from a Highly Swelling Binary Biopolymeric Blend of Alginate and Pectin**, *J. Macromol. Sci. Pure Appl. Chem.*, **43**(1): 165–186 (2007).
- [۱۲] مولوی، بهناز؛ حبیبی، علیرضا؛ فتاحی، علی؛ **بهینه سازی فرایند انکپسوله سازی دارو در میکرووذرهای کروی چیتوسان با استفاده از روش الکترواسپری هم محور**، نشریه شیمی و مهندسی شیمی ایران، **۳۵**(۴): ۷۱ تا ۸۵ (۱۳۹۵).
- [13] Bayat A., Dorkoosh F. A., Dehpour A. R., Moezi L., Larijani B., Junginger H. E., Rafiee-Tehrani M., **Nanoparticles of Quaternized Chitosan Derivatives as a Carrier for Colon Delivery of Insulin: Ex Vivo and in Vivo Studies**, *Int. J. Pharm.*, **356**(1-2): 259–266 (2008).
- [14] de Britto D., de Moura M. R., Aouada F. A., Mattoso L. H.C., Assis O. B.G., **N,N,N-Trimethyl Chitosan Nanoparticles as a Vitamin Carrier System**, *Food Hydrocoll.*, **27**(2): 487–493 (2012).
- [15] Sandri G., Bonferoni M. C., Rossi S., Ferrari F., Boselli C., Caramella C., **Insulin-Loaded Nanoparticles Based on N-Trimethyl Chitosan: in Vitro (Caco-2 model) and ex Vivo (excised rat jejunum, duodenum, and ileum) Evaluation of Penetration Enhancement Properties**, *AAPS Pharm. Sci. Tech.*, **11**(1): 362–71 (2010).
- [16] Casettari L., Villasaliu D., Castagnino E., Stolnik S., Howdle S., Illum L., **PEGylated Chitosan Derivatives: Synthesis, Characterizations and Pharmaceutical Applications**, *Prog. Polym. Sci.*, **37**(5): 659–685 (2012).
- [17] Mao S., Shuai X., Unger F., Wittmar M., Xie X., Kissel T., **Synthesis, Characterization and Cytotoxicity of Poly(ethylene glycol)-graft-trimethyl Chitosan Block Copolymers**, *Biomaterials*, **26**(32): 6343–6356 (2005).
- [18] Malhotra M., Lane C., Tomaro-Duchesneau C., Saha S., Prakash S., **A Novel Method for Synthesizing PEGylated Chitosan Nanoparticles: Strategy, Preparation, and in Vitro Analysis**, *Int. J. Nanomedicine*, **6**: 485–494 (2011).
- [19] Samimi A., Ghadiri M., **Production of Nanoparticle Assemblies by Electro-Spraying and Freeze-Drying of Colloids: A New Method to Resolve Handling Problem of Nanoparticles**, *Iran J. Chem. Chem. Eng. (IJCCE)*, **27**(2): 69-79 (2008).
- [20] Mao S., Germershaus O., Fischer D., Linn T., Schnepf R., Kissel T., **Uptake and Transport of PEG-Graft-Trimethyl-Chitosan Copolymer-Insulin Nanocomplexes by Epithelial Cells**, *Pharm. Res.*, **22**(12): 2058–2068 (2005).
- [21] Jintapattanakit A., Junyaprasert V. B., Kissel T., **The Role of Mucoadhesion of Trimethyl Chitosan and PEGylated Trimethyl Chitosan Nanocomplexes in Insulin Uptake**, *J. Pharm. Sci.*, **98**(12): 4818–4830 (2009).

- [22] Sadeghi A.M.M., Dorkoosh F.A., Avadi M.R., Saadat P., Rafiee-Tehrani M., Junginger H.E., Preparation, Characterization and Antibacterial Activities of Chitosan, N-Triethyl Chitosan (TMC) and N-diethylmethyl Chitosan (DEMC) Nanoparticles Loaded with Insulin Using Both the Ionotropic Gelation and Polyelectrolyte Complexation Methods, *Int. J. Pharm.*, **355**(1–2): 299–306 (2008).
- [۲۳] نبوی منش، محمد مهدی؛ "پوشش دهنده سطح جزایر لانگرهانس با استفاده از ترکیب روش کپسوله کردن و پگیله کردن"، پایان نامه کارشناسی ارشد، دانشگاه تربیت مدرس، (۱۳۹۱).
- [24] Mortazavian E., Amini M., Dorkoosh F.A., Amini H., Khoshayand M.R., Amini T., Rafiee-Tehrani M., Preparation, Design for Optimization and in Vitro Evaluation of Insulin Nanoparticles Integrating Thiolated Chitosan Derivatives, *J. Drug Deliv. Sci. Technol.*, **24**(1): 40–49 (2014).
- [25] Bradford M.M., A Rapid and Sensitive Method for the Quantitation of Microgram Quantities of Protein Utilizing the Principle of Protein-Dye Binding, *Anal. Biochem.*, **72**(1–2): 248–254 (1976).
- [26] Sieval A.B., Thanou M., Kotze A.F., Verhoef J.C., Brussee J., Junginger H.E., Preparation and NMR Characterization of Highly Substituted N-trimethyl Chitosan Chloride, *Carbohydr. Polym.*, **36**(2–3): 157–165 (1998).
- [27] Mourya V.K., Inamdar N.N., Trimethyl Chitosan and Its Applications in Drug Delivery, *J. Mater. Sci. Mater. Med.*, **20**(5): 1057–1079 (2009).
- [28] Verheul R.J., Amidi M., van der Wal S., van Riet E., Jiskoot W., Hennink W.E., Synthesis, Characterization and in Vitro Biological Properties of O-Methyl Free N,N,N-Triethylated Chitosan, *Biomaterials*, **29**(27): 3642–3649 (2008).
- [29] Coates J., "Interpretation of Infrared Spectra , A Practical Approach", in: "Encycl. Anal. Chem.", John Wiley & Sons, pp. 10815–10837, (2000).
- [30] Pavia D.L., Lampman G.M., Kriz G.S., "Introduction to Spectroscopy: A Guide for Students of Organic Chemistry. Cengage Learning", Harcourt College Publishers, (2009).
- [31] Lawrie G., Keen I., Drew B., Chandler-Temple A., Rintoul L., Fredericks P., Grondahl L., Interactions between Alginate and Chitosan Biopolymers Characterized Using FTIR and XPS, *Biomacromolecules*, **8**(8): 2533–41(2007).
- [32] Avadi M.R., Sadeghi A.M.M., Mohammadpour N., Abedin S., Atyabi F., Dinarvand R., Rafiee-Tehrani M., Preparation and Characterization of Insulin Nanoparticles Using Chitosan and Arabic Gum with Ionic Gelation Method, *Nanomedicine Nanotechnology, Biol. Med.*, **6**(1): 58–63 (2010).
- [33] Ritger P.L., Peppas N.A., A Simple Equation for Description of Solute Release. I: Fickian and Non-Fickian Release from Non-Swellable Devices in the form of Slabs, Spheres, Cylinders or Discs, *J. Control. Release*, **5**(1): 23–36 (1987).